

## دراسة تأثير نسب الخلط على مسحوق اوكسيد الزركونيوم ZrO<sub>2</sub>

هناه شكر محمود      علاء عزيز عباس      فراس كاظم نصيف      محمد هادي مهدي  
نبراس تحسين عبد      الحميد  
جامعة بغداد/كلية التربية ابن الهيثم للعلوم الصرفة/قسم الفيزياء  
Shatha246@yahoo.com

### الخلاصة:

في هذا البحث درست الخصائص التركيبية والكهربائية والفيزيائية لمادة اوكسيد الزركونيوم النقي والمشوب بأوكسيد الكالسيوم وأوكسيد اليتريوم ، شكلت العينات باستعمال مكبس هيدروليكي وعملت حراريا عند ٨٠٠°C وبזמן انصاج ساعتين . بينت أنماط حبيبات الأشعة السينية تغيير في الشدة مع بقاء موقع ثابت دون تغير بسبب معاملتها عند درجة ٨٠٠°C لعينات اوكسيد الزركونيوم المشوبة بـ ١٥٪ . نسبة وزنية بمادة اوكسيد اليتريوم . ومن ملاحظة قيم الخصائص العزلية والmekanikie ، وجد التأثير الاعلى للزركونيا يعود لأوكسيد اليتريوم مقارنة بأوكسيد الكالسيوم.

**الكلمات المفتاحية:** زركونيا، خواص فизائية، خواص عزلية، صلادة.

### Study the effect of mixing the Zirconium oxide ZrO<sub>2</sub> powder ratios

Hanaa.Sh.Mahmood Alaa Azeez Abas Firas Kadhim Nsaif

Mohammed Hadi Mahdi Nabras.Tahseen Abdul –Hameed.

### Abstract:

In this research , the electrical , physical and structure properties of Zirconium oxide ZrO<sub>2</sub> have been studied as basic , Calcium and Yttrium oxides as doped materials , By using hydraulic pressing we made the uniform disks of samples . these samples sintered at 800°C and soaking time 2hr.The XRD potteries of samples showed that the change of intensity of sample that, doped with (0.15)wt Y<sub>2</sub>O<sub>3</sub> .The dielectric constant of samples found the improvement in the value of sample (0.15)wt of Y<sub>2</sub>O<sub>3</sub> doped.

**Keywords:** Zirconia ,Physical properties , Isolate properties , Hardness.

الانصهار ، التوصيلية الحرارية الواطئة ، الصلادة ،  
العزل الكهربائي العالي (٧-٤) .

في هذا البحث درست تأثير اضافة اوكسيد اليتريوم وأوكسيد الكالسيوم الى اوكسيد الزركونيوم عند درجة حرارة ٨٠٠°C لمعرفة مدى تأثير هذه الاضافات على بعض خصائص اوكسيد الزركونيوم المذكورة سابقا عند درجة حرارة ٨٠٠°C .

### ٢. طريقة العمل

حضرت المواد الاولية المتضمنة (ZrO<sub>2</sub>) كمادة اساس ومواد التشويب ( CaO, Y<sub>2</sub>O<sub>3</sub> ) و التأكد من نقاوتها بواسطة حبيبات الأشعة السينية كما موضح بالشكل

### ١. مقدمة

تكمّن أهمية هذه الدراسة نظراً للاستخدامات الكبيرة التي يحظى بها اوكسيد الزركونيوم في العديد من صناعات الحرارية مثل البواقد لصهر المعادن وكذلك يُعد هذا الاوكسيد الاساس في صناعة الاسنان في الوقت الحاضر لامتيازه بالقوّة والمتانة والاهم من ذلك الجمال الطبيعي الذي ينتج من لونه المقارب لللون الاسنان الطبيعي والذي يسمح بنفاذ الضوء من خلاله مما يعطي جاذبية وجمالاً (٣-١).

يمتلك اوكسيد الزركونيوم خصائص فريدة تميزه عن بقية الاوكسید السيراميكية من حيث (درجة

أجري اختبار الصلادة باستعمال الطريقة الميكروية وتم حساب حد المرونة معامل يونك اعتماداً على المعادلات الآتية:

$$E = 81.9 \quad (4)$$

$$Y = Hv / 3 \quad (5)$$

### ٣. مناقشة النتائج

استعمل فحص حبيود الاشعة السينية لتشخيص الاطوار في المواد كافة . نلاحظ من الشكل رقم (١) حبيود الاشعة السينية لأوكسيد الزركونيوم النقى وعند اضافة اوكسيد اليتريوم واوكسيد الكالسيوم بنسوب (x=0.15) لاحظنا في الشكل (١) تغير الشدة لأوكسيد الزركونيوم مع زيادة الاضافة وخاصة عند اضافة اوكسيد اليتريوم حيث تزداد الشدة وتصل الى اكبر من (١٩٠٠ cps) مع بقاء الموضع لشدة ثابت ، ان اووكسيد الزركونيوم يعاني من تحولات طوريه عند درجة حرارة اكبر من (١١٧٠°C) بينما هذه المادة عمولت عند درجة حرارة (٨٠٠°C) .

الشكل (٢,٣) يبين تأثير إضافة كل من (CaO, Y<sub>2</sub>O<sub>3</sub>) على تغير قيم ثابت العزل الكهربائي كدالة للتعدد.

الشكل (٤) يبين تأثير إضافة (Y<sub>2</sub>O<sub>3</sub>, CaO) على قيم ثابت العزل الكهربائي عند 1MHz ، عند اضافة Y<sub>2</sub>O<sub>3</sub> للنمذاج تعطي قيم ثابت عزل عالي نسبيا مقارنة بإضافة CaO .

اما نتائج ثابت العزل الخيالي ("ε'') الموضحة في الاشكال (٥,٦) كدالة لتردد المجال ضمن المدى (50Hz to 1MHz) على التوالي للنمذاج المشبوبة (CaO و Y<sub>2</sub>O<sub>3</sub>) عند درجة حرارة الغرفة.

بشكل عام الاشكال (٥,٦) تشير الى ان قيم ثابت العزل الخيالي تتناقص مع زيادة تردد المجال المطبق وفق المعادلة

$$\epsilon''_r = \frac{1}{\omega C_o R_p} \Rightarrow \frac{d}{\omega \epsilon_o A R_p} \quad (6)$$

اما قيمة ثابت العزل الخيالي تعتمد على التردد المطبق ، عند زيادة التردد (f>10<sup>4</sup>Hz) يؤدي الى تناقص الفقدان العزلي .

الاشكل (٧,٨) تشير الى قيم (tanδ) مع تردد المجال المطبق حيث تعكس هذه القيم

رقم (١). بعد تهيئه النسب الوزنية للمواد الأولية (%) (0.05, 0.1, 0.15)). وزنت هذه المواد بميزان حساس vortex (type KERN) (4deg) (mixer) لمدة (5hr) وذلك للحصول على خليط متجانس تهيئه لمرحلة التشكيل. تم تشكيل العينات بطريقة الكبس شبه الجاف (Semi - Dry) Pressing (Pressing) وذلك لقليل المسامية. حيث تم أخذ مزيج بوزن (2.9g) من كل خلطة وتم كبسها بمكبس هيدروليكي باستعمال قالب من مادة (stainless steel) بسمك (0.68 cm) وقطر (1.72cm) . ويزيت قالب لتقليل الاحتكاك مع دقائق المسحوق وجدران قالب وسلط ضغط مقداره (16.9MPa) اعتماداً على برنامج البحث وأخذ زمن الكبس (3min) لضمان حصول انسياپ مقاييسها وتم تشكيل عينتين لكل أنموذج من كل خلطة لإجراء الفحوصات عليها . أجريت المعاملة الحرارية للمكمبات باستعمال فرن كهربائي نوع (Carbolite) ، وحرقت عند الضغط الجوي الاعتيادي وبمعدل زمني لصعود درجة الحرارة هي (5°C/mm) ورفعت درجة حرارة الفرن الى درجة المعاملة الحرارية المطلوبة وهي (800°C) حيث بقيت العينات في هذه الدرجات لمدة ساعتين ولقد اعتمدنا هذه الطريقة من أجل تقليل التشوهدات التي قد تحصل للعينات خلال عملية المعاملة الحرارية . أجريت الفحوصات المختبرية للنمذاج المتضمنة دراسة التركيب البلوري باستخدام جهاز حبيود الاشعة السينية Source: ( type Shimadzu )

CuK<sub>α</sub> , Voltage: 40kV, Current: 30.0 mA , Wavelength: 1.5406 Å . اما الخصائص العزلية الكهربائية تتضمن قياس ثابت العزل الكهربائي بواسطة جهاز (LCR meter) بترددات مختلفة تتراوح من (50Hz-1MHz) عند درجة حرارة الغرفة ، قياس السعة والفقدان العزلي ((tan(δ)) مع التردد مباشرة من الجهاز وبتطبيق المعادلات ادناه لحساب ثابت العزل

الكهربائي الحقيقي (ε'\_r) و ثابت العزل الخيالي (ε''\_r) .

$$C_p = \frac{\epsilon A}{d} \quad (1)$$

$$\epsilon'_r = \frac{C_p}{C_o} \Rightarrow \frac{C_p d}{\epsilon_o A} \quad (2)$$

$$\epsilon''_r = \epsilon'_r \tan(\delta) \quad (3)$$

حسب معامل المرونة ومعامل يونك من قيم الصلادة المجهرية للنموذج اوكسيد الزركونيوم المشوب بنسبة ١٥٪ نسبة وزنية من اوكسيد اليتريوم وكانت النتائج ( $E=282.762 \text{ N/m}^2$ ,  $Y=94.254 \text{ N/m}^2$ ).  
للصلادة المجهرية ارتباط وثيق بما ورد من خصائص فيزيائية فازدياد الكثافة الظاهرية ونقصان كل من المسامية الظاهرية وامتصاص الماء معها يمنح المادة مقاومة اكثر للتلقل المسلط عليها اي تردد صلادتها ، ولذلك ازدادت الصلادة المجهرية للنماذج عند زيادة اضافة اوكسيد اليتريوم مرة وتتناقصت عند زيادة اضافة اوكسيد الكالسيوم مرة اخرى وهذا ما نلاحظه في الشكل (١٤).

#### ٤. المصادر

- [1] Kobayashi,K.;Kuwajima,H.;Masaki,T. Phase change and mechanical Properties of  $\text{ZrO}_2 - \text{Y}_2\text{O}_3$  solid electrolyte after aging. Solid state Ionics 1981,3/4,489-495.
- [2] Kaykhosrow Khojier , Hadi Savaloni and Fatemeh Jafri ; Structural ,electrical , and decorative properties of sputtered zirconium thin films during post-annealing process; journal of Theoretical and Applied physics 2013,7:55.
- [3] Binary Alloy Phase Diagrams, Second Edition, Ed. T. B. Massalski, ASM International, Materials Park, Ohio(1990) 3,2941-2941 as implemented in the File Binaries Edition, version 1.0, Release 2002/1,p.Villars (editor-in-chie).
- [4] Gan, Z, Yu, GO, Zhao, ZW, Tan, CM, Tay, BK: Mechanical properties of zirconia thin films deposited by filtered cathodic vacuum arc. J. Am. Ceram. Soc 88, 2227-2229(2005).
- [5] Martin, PJ, Bendavid, A: Properties of zirconium oxide films prepared By filtered cathodic vacuum arc drposition and pulsed DC substrate

اقصى امتصاص طاقة عند التردد( $2*10^5 \text{ Hz}$ ) وهو نفس السلوك لثبت العزل الخالي وهذا يعكس العلاقة بين ( $\epsilon_r' = \epsilon''_r = \tan(\delta)$ ) و تمثل هذه المنطقة كقاعدة تقابل منطقة الاسترخاء لذلك تمثل منطقة خسارة العزل للنماذج.

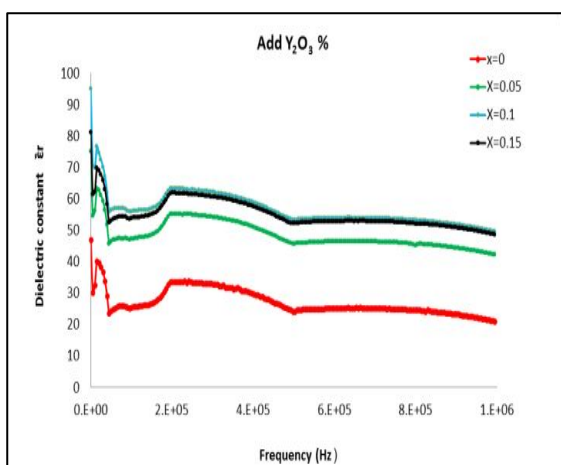
ونلاحظ من الاشكال (7,8) وجود خسارة "a loss peaks" في كل النماذج تبدأ من  $1 \times 10^5 \text{ Hz}$  وتصل الى  $5 \times 10^5 \text{ Hz}$  بسبب حدوث الاسترخاء في العينات .

الاشكال (9,10) تشير الى نتائج التوصيلية الكهربائية المتناوبة المقاسة عند درجة حرارة الغرفة للنماذج الملبدة عند درجة ( $800^\circ\text{C}$ ) لمدة ساعتين مع تردد المجال المطبق ،نلاحظ عند زيادة تردد المجال المطبق من  $50 \text{ Hz}$  الى  $1 \text{ MHz}$  تزداد التوصيلية بسبب العلاقة المباشرة بين تردد المجال والتوصيلية الكهربائية ( $\sigma_{a.c} = 2\pi f \epsilon_r'' \epsilon_0$ ) بالإضافة الى تغير حاملات شحنة الاستقطاب.

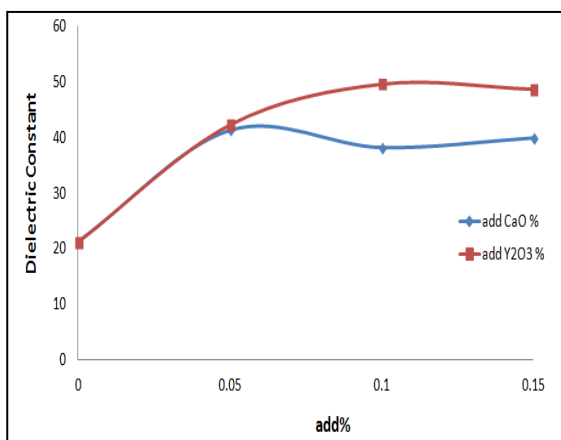
بشكل عام ان تأثير اضافة ( $\text{CaO}$  و  $\text{Y}_2\text{O}_3$ ) للنماذج ادى الى زيادة ونقصان في التوصيلية الكهربائية وهذا يعزى الى تركيز الشوائب و الفجوات داخل النماذج بسبب الاضافات التي ادت الى تغير الحدود الحبيبية في التركيب البلوري مما اثر على ( $\epsilon''_r$ ) و ( $\tan(\delta)$ ) ونتائج التوصيلية المتناوبة

نلاحظ في الشكل (١١) زيادة الكثافة الظاهرية لأوكسيد الزركونيوم مع زيادة اضافة اوكسيد اليتريوم، بسبب زيادة معدل النمو الحبيبي اي انتشار المادة خلال الحدود الحبيبية من جهة وعلى الفراغات الموجودة بين الحبيبات من جهة اخرى ، وهذا خلاف ما يحدث عند اضافة اوكسيد الكالسيوم الى النماذج حيث تقل الكثافة الظاهرية .

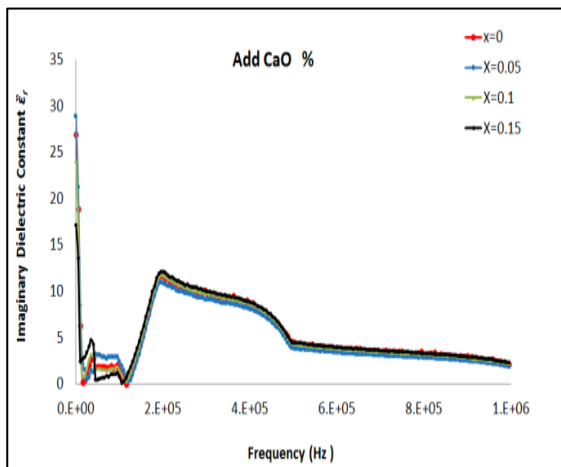
ان زيادة الكثافة الظاهرية يعني نقصان حجم الفراغات الموجودة بين الحبيبات مسبباً نقصان في المسامية الظاهرة لأوكسيد الزركونيوم عند زيادة اضافة اوكسيد اليتريوم ، بينما تزداد المسامية الظاهرية عند زيادة اضافة اوكسيد الكالسيوم مسبباً نقصان في الكثافة الظاهرية وكما هو موضح في الشكل (١٢)، الشكل (١٣) يبين تغير خاصية الامتصاصية للماء مع اضافة اوكسيد اليتريوم و اوكسيد الكالسيوم ، نلاحظ في هذا الشكل تناقص الامتصاصية للماء مع زيادة اضافة اوكسيد اليتريوم بينما تزداد مع زيادة اضافة اوكسيد الكالسيوم بسبب العلاقة بين الامتصاصية الظاهرة للمادة والكثافة الظاهرية (علاقة عكسية).



الشكل (٣) يوضح تغير ثابت العزل الكهربائي كدالة للتردد  
بإضافة  $\text{Y}_2\text{O}_3$



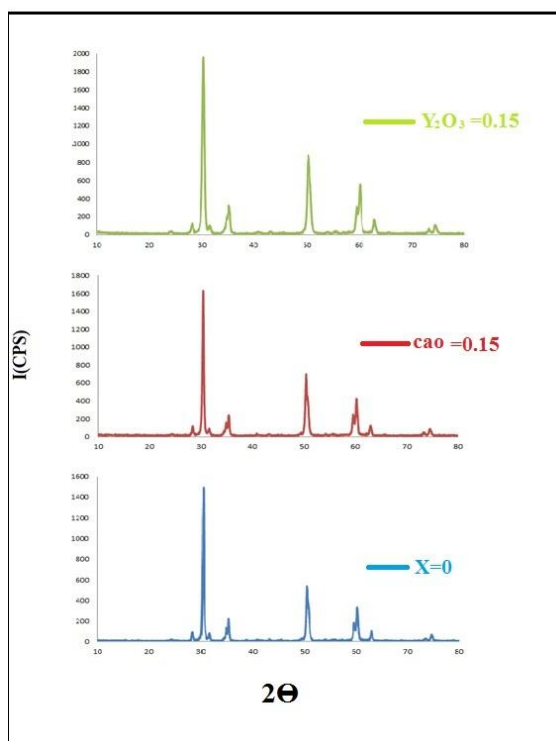
الشكل (٤) يوضح تغير ثابت العزل الكهربائي مع نسب  
إضافات  $\text{CaO}$  و  $\text{Y}_2\text{O}_3$



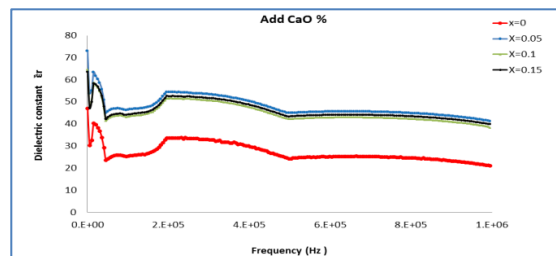
الشكل (٥) يوضح تغير ثابت العزل الكهربائي الخيالي كدالة  
للتردد بإضافة  $\text{CaO}$

bias. Thin solid Films 518, 5078-5082 (2010).

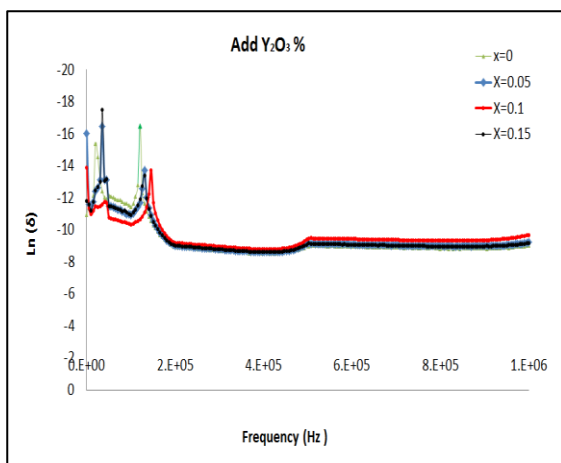
- [6] Yu, Go, Tay, BK, Zhao, ZW :Structure and properties of zirconium oxide thin films prepared by filtered cathodic vacuum arc. Appl. Phys. A Mater .Sci. proc.81 , 405-411 (2005).



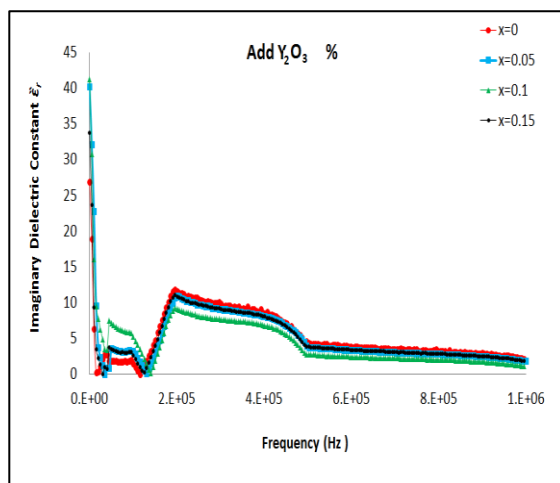
الشكل (١) يبين نمط حيود الأشعة السينية للعينات ١ - بدون  
تشويب ( $X=0$ ) ٢ - عند إضافة أوكسيد الكالسيوم بنسبة  
٣ - عند إضافة أوكسيد اليتريوم بنسبة  
( $X=0.15$ )



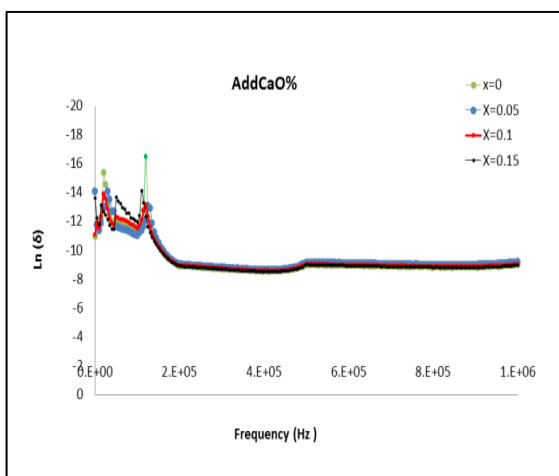
الشكل (٢) يوضح تغير ثابت العزل الكهربائي كدالة للتردد  
بإضافة  $\text{CaO}$



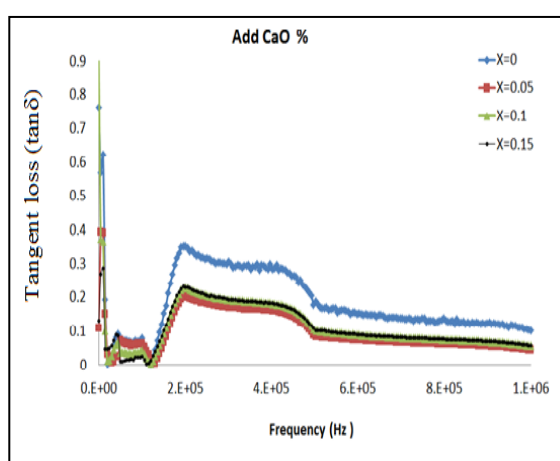
الشكل (٩) يوضح تغير التوصيلية الكهربائي دالة للتتردد  
بإضافة  $\text{Y}_2\text{O}_3$



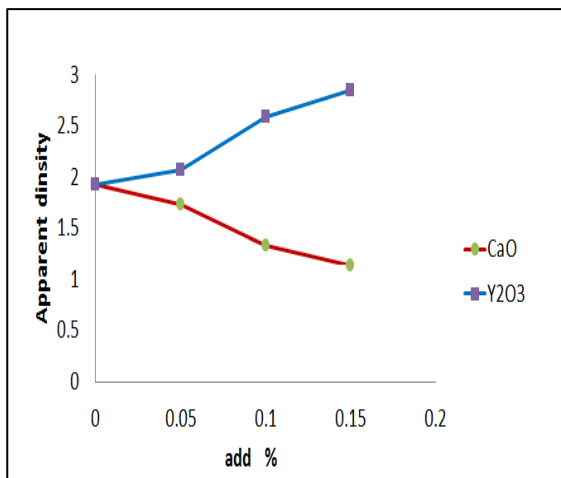
الشكل (٦) يوضح تغير ثابت العزل الكهربائي الخيالي دالة  
للتردد بإضافة  $\text{Y}_2\text{O}_3$



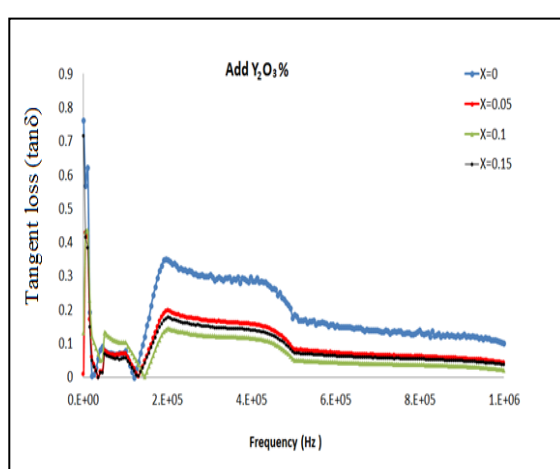
الشكل (١٠) يوضح تغير التوصيلية الكهربائي دالة للتتردد  
بإضافة  $\text{CaO}$



الشكل (٧) يوضح تغير ثابت فقدان العزل الكهربائي دالة  
للتردد بإضافة  $\text{CaO}$



الشكل (١١) تغير الكثافة الظاهرية مع اضافة  $\text{Y}_2\text{O}_3$  و  
 $\text{CaO}$



الشكل (٨) يوضح تغير ثابت فقدان العزل الكهربائي دالة  
للتردد بإضافة  $\text{Y}_2\text{O}_3$



الشكل (١٥) عينات اوكسيد الزركونيوم



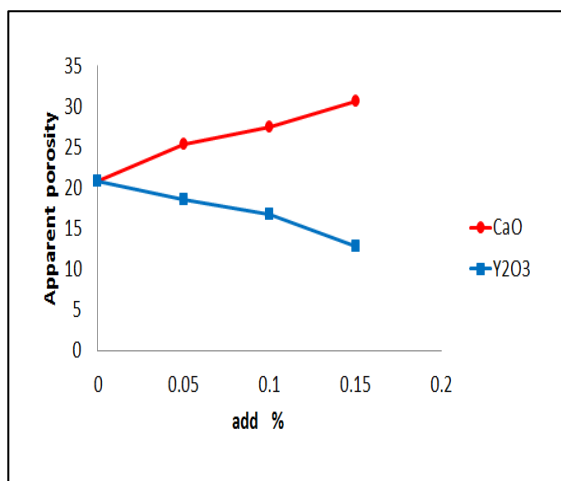
الشكل (١٦) المكبس الهيدروليكي



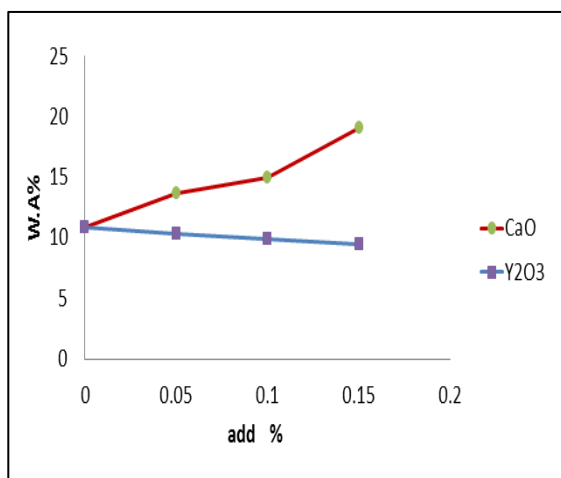
الشكل (١٧) الفرن الحراري



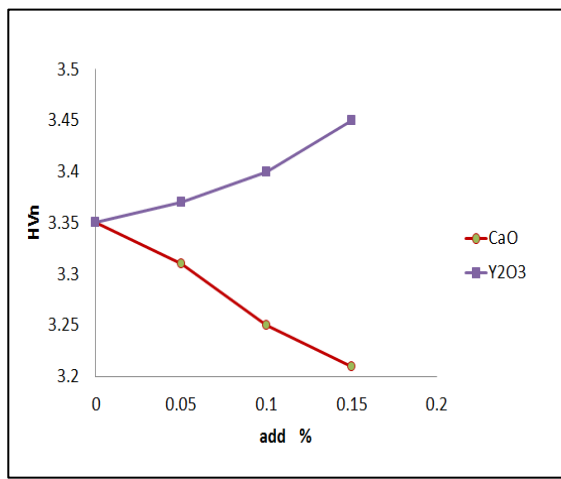
الشكل (١٨) قالب الكبس



الشكل (١٢) تغير المسامية الظاهرية مع اضافة  $\text{Y}_2\text{O}_3$  و  $\text{CaO}$



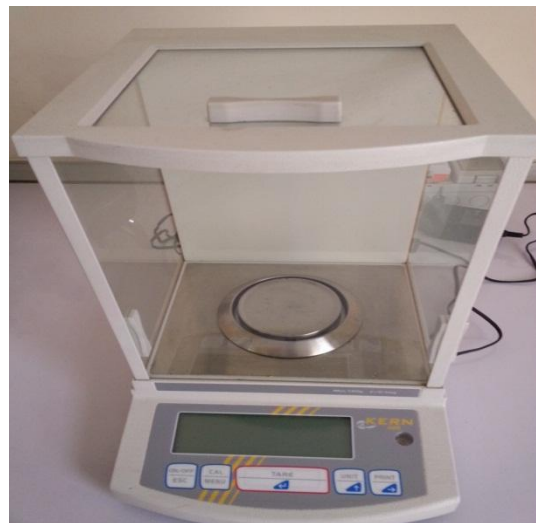
الشكل (١٣) تغير الامتصاصية مع اضافة  $\text{Y}_2\text{O}_3$  و  $\text{CaO}$



الشكل (١٤) الصلادة المجهرية مع اضافة  $\text{Y}_2\text{O}_3$  و  $\text{CaO}$



الشكل (١٩) جهاز الخواص الكهربائية



الشكل (٢٠) الميزان الكهربائي